

К ПРОЕКТИРОВАНИЮ БЕСКОНТАКТНОГО ЭМУ ПЕРЕМЕННОГО ТОКА

М. Л. КОСТИРЕВ, А. И. СКОРОСПЕШКИН

(Рекомендована научным семинаром кафедр электрических машин
и общей электротехники)

Бесконтактный электромашинный усилитель БЭМУ переменного тока состоит из синхронного генератора и асинхронного преобразователя частоты, вращаемых приводным двигателем [1, 2]. БЭМУ дает повышенную частоту на выходе, имеет хорошие регулировочные и динамические свойства и может использоваться в качестве автономного генератора или усилителя — преобразователя частоты.

Для снижения габаритов и веса усилителя его каскады совмещаются в одном магнитопроводе. Проектированию одномашинных преобразователей, где совмещены генератор и приводной двигатель, посвящены работы В. С. Новокшенова, В. М. Павлинина, В. С. Нерсесяна и ряд других [3, 4, 5]. В БЭМУ совмещаются каскады генераторной части. Такое совмещение, а также учет специфических требований к усилителю налагают ряд особенностей на его проектирование.

В предлагаемой статье основное внимание удалено выбору электромагнитных нагрузок БЭМУ.

Распределение электромагнитных нагрузок между совмещенными каскадами характеризуется коэффициентами

$$C_B = \frac{B_{\delta_2}}{B_\delta}, \quad C_A = \frac{A_2}{A}. \quad (1)$$

Примечание. 1. Все формулы даны в системе единиц СИ. Условные обозначения приведены в конце статьи.

2. Здесь и далее индекс 1 относится к 1 каскаду, индекс 2 — ко 2 каскаду.

По конструкции БЭМУ аналогичен серийным асинхронным двигателям. Однако в отличие от последних в тепловом отношении наиболее загружены роторные обмотки БЭМУ. Поэтому под суммарной линейной нагрузкой БЭМУ следует понимать линейную нагрузку обмоток ротора. Она выбирается в пределах, соответствующих асинхронным двигателям такой же мощности и исполнения.

Магнитная индукция в зазоре БЭМУ может выбираться пониженной с учетом требуемой форсировки напряжения. Например, при 1,5-кратной форсировке индукция выбирается около 2/3 от индукции соответствующего асинхронного двигателя.

Коэффициент C_B может варьироваться при проектировании. Покажем, что в этом случае коэффициент C_A нельзя выбирать произвольно.

Действительно, из условия равенства числа фаз и токов роторных обмоток вытекает соотношение

$$\frac{A_1}{A_2} = \frac{W_{R_1}}{W_{R_2}}. \quad (2)$$

С другой стороны, отношение э. д. с. роторных обмоток

$$\frac{E_{R_1}}{E_{R_2}} = K_E = \frac{W_{R_1} K_{\omega_1} P_2 B_{\delta_2}}{W_{R_2} K_{\omega_2} P_1 B_{\delta_2}}. \quad (3)$$

Из выражений (1, 2, 3) получим

$$C_A = \frac{1 - C_B}{1 - C_B(1 - K_1)}, \quad (4)$$

где

$$K_1 = \frac{K_E K_{\omega_2} P_1}{K_{\omega_1} P_2}.$$

Последнее выражение (4) совпадает с полученным В. С. Новокшеновым [3], но коэффициент K_1 имеет другое содержание.

Итак, задавшись суммарной линейной нагрузкой ротора, индукцией в зазоре и коэффициентом C_B , определяем по формулам (1, 4) электромагнитные нагрузки каскадов БЭМУ.

Рассмотрим влияние коэффициента C_B , характерного для совмещенных машин, на основные параметры БЭМУ.

Определим параметры усилителя при заданных размерах.
Полная мощность БЭМУ.

$$P_{\text{вых}}^1 = \frac{\pi^2 K_{\omega S}}{\sqrt{2} K_E S} D^2 1 A_S B_{\delta_2} n_S. \quad (5)$$

Из векторной диаграммы (рис. 1), пренебрегая углом γ , определяем

$$F_S = \sqrt{F_{R_2}^2 - (F_2 \cos \varphi)^2} - F_2 \sin \varphi.$$

Отсюда линейная нагрузка выходной обмотки

$$A_S = A_2 \frac{K_{\omega_2} F_S}{K_{\omega S} R_2} = \frac{K_{\omega_2}}{K_{\omega S}} \left[\sqrt{A_2^2 - \left(\frac{K_2 B_{\delta_2} \cos \varphi}{D} \right)^2} - \frac{K_2 B_{\delta_2} \sin \varphi}{D} \right],$$

где

$$K_2 = \frac{\sqrt{2} \delta' K_{\mu_2} P_2}{\mu_0 K_{\omega_2}}.$$

Коэффициент усиления БЭМУ без обратной связи

$$K_y = \frac{P_{\text{вых}}}{I_f^2 R_f}.$$

Выразив ток и сопротивление обмотки возбуждения через удельные нагрузки и размеры машины, получим

$$K_y = \frac{P_{\text{вых}}}{\pi(e + \tau_i) D j A_f \rho}. \quad (6)$$

Из векторной диаграммы усилителя

$$A_f = \frac{2 \sqrt{2} K_{\omega_1}}{\pi K_f} A_1 \sqrt{1 + \left(\frac{K_3 B_{\delta_1}}{A_1 D} \right)^2 + \frac{2 K_3 B_{\delta_1} \cos \varphi_R}{A_1 D}},$$

где

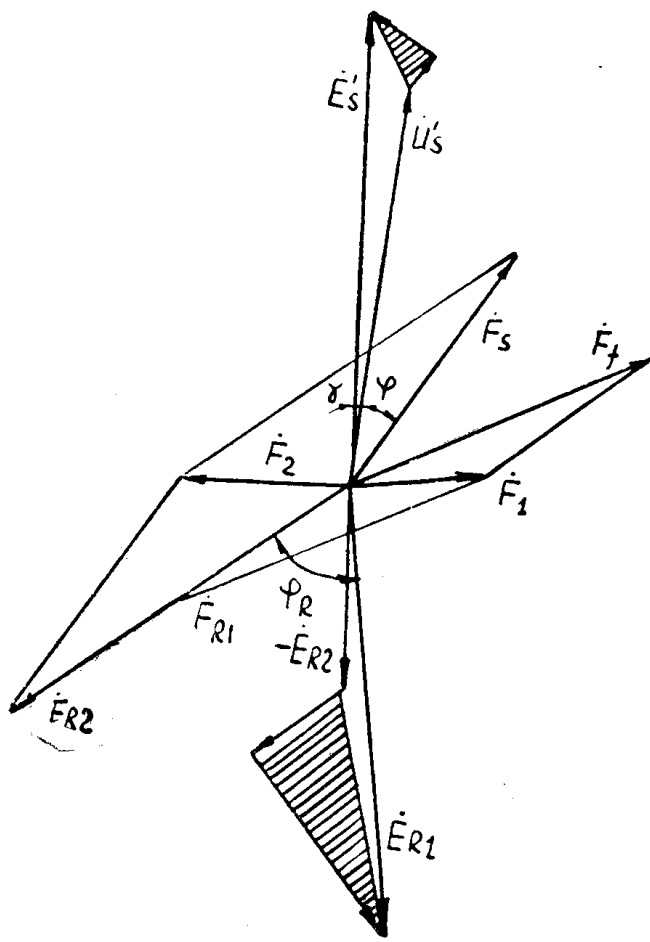


Рис. 1. Векторная диаграмма БЭМУ

$$\cos \varphi_R = \sqrt{1 - \left(\frac{K_{fs} A_s}{K_{\omega_2} A_2} \right)^2},$$

$$K_3 = \frac{\sqrt{2} \delta' K_{\mu_1} P_1}{\mu_0 K_{\omega_1}}.$$

Быстродействие усилителя характеризуется эквивалентной постоянной времени [6]

$$T = \frac{\pi^2 \mu_0 K_f^2 A_f D^2 e}{32 \delta' K_{\mu_1} P_1^2 \left[1 + \left(\frac{C_B K_E}{1 - C_B} \right)^2 \right] (e + \tau_1) j \rho}. \quad (7)$$

Добротность усилителя без обратной связи

$$D = \frac{K_y}{T}. \quad (8)$$

Потери и к. п. д. БЭМУ рассчитываются по известным методикам [3].

Динамическая перегрузочная способность усилителя определяется сопротивлением рассеяния его обмоток [7]. В относительных единицах

$$x_\sigma = x_{\sigma s} + x_{\sigma R_1} + x_{\sigma R_2} =$$

$$= \frac{4\pi\mu_0 p_2 K_{Es} A_s}{\sqrt{2} K_{\omega_s} B_{d_2}} \left[\frac{\sum \lambda_s}{z_s} + \frac{\lambda_1}{z_R} \left(\frac{A_1 K_{\omega_s}}{A_2 K_{\omega_2}} \right)^2 + \frac{\lambda_2}{z_R} \left(\frac{K_{\omega_s}}{K_{\omega_2}} \right)^2 \right]. \quad (9)$$

Из выражений (5—9) видно, что основные параметры БЭМУ существенно зависят от распределения электромагнитных нагрузок между каскадами.

На ЦВМ «Проминь» были рассчитаны параметры БЭМУ в железе серийного двигателя А02-42 при $n=3000$ об/мин, $\cos\varphi=1$, $A=210$ а/см, $B_6=0,5$ тл, $2\rho_1=2$, $2\rho_2=6$, $f_{\text{вых}}=200$ гц. Как видно из рис. 2, максимум к. п. д. совпадает с максимумом выходной мощности, что соответствует известному положению о совпадении оптимума по объему и потерям для совмещенных машин [3]. При увеличении C_b снижается коэффициент усиления и улучшается быстродействие. Динамическая перегрузочная способность также возрастает, поскольку снижается относительная реактивность рассеяния.

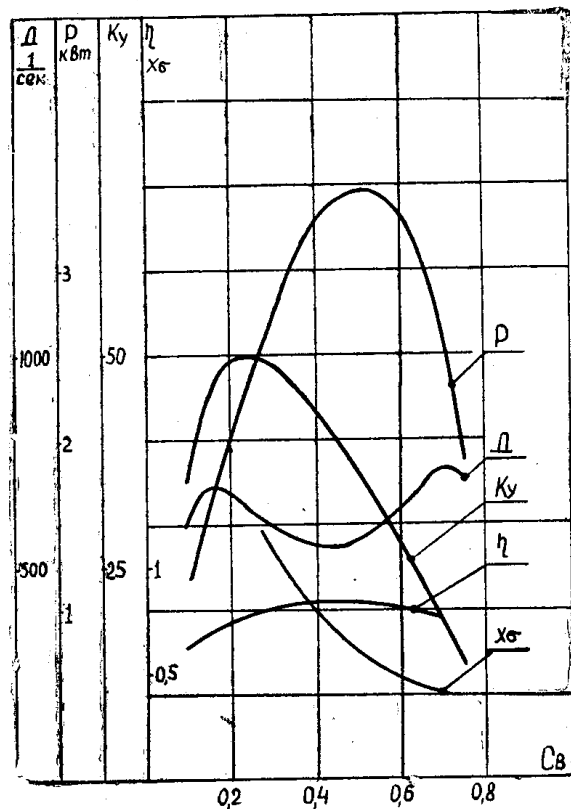


Рис. 2. Влияние C_b на параметры БЭМУ

При совмещении двигательно-генераторной части оптимальное с точки зрения объема и потерь значение C_b колеблется в узких пределах $C_{bonm}=0,33-0,5$ [3]. Как видно из рис. 2, для БЭМУ $C_{bonm}=0,4-0,6$, а для увеличения добротности и перегрузочной способности нужно выбирать еще большее значение C_b .

Влияние воздушного зазора на мощность и добротность БЭМУ показано на рис. 3. Основные данные усилителя такие же, как и для рис. 2.

При изменении зазора в широких пределах максимальная мощность и добротность изменяются незначительно. Максимум добротности сдвигается в сторону меньших значений C_b при увеличении зазора, приближаясь к максимуму мощности. В связи с этим в БЭМУ целесообразно несколько увеличивать воздушный зазор по сравнению с со-

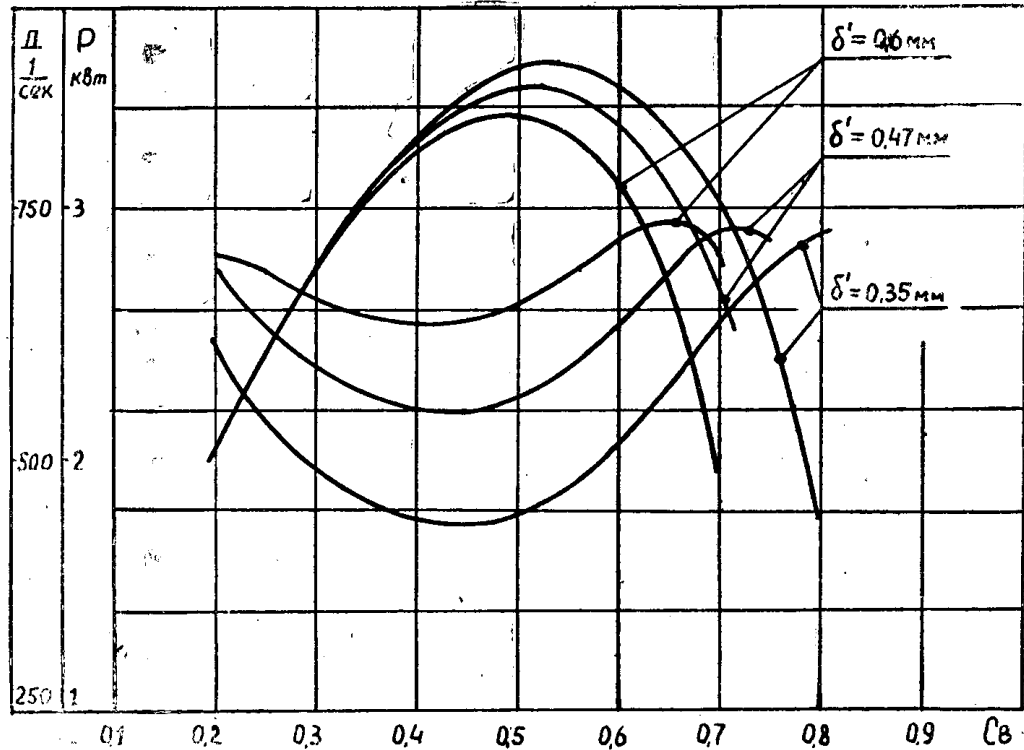


Рис. 3. Влияние воздушного зазора на параметры БЭМУ

ответствующими асинхронными двигателями. Это дает увеличение добродинности при максимальной мощности в заданном объеме, а также приводит к снижению шума машины.

Выводы

- Предложены формулы для учета усиливательных и динамических свойств БЭМУ при проектировании.
- Показано, что на выбор электромагнитных нагрузок каскадов БЭМУ существенно влияют требования, предъявляемые к коэффициенту усиления, быстродействию и перегрузочной способности усилителя.

Условные обозначения

- A — суммарная линейная нагрузка ротора,
- A_1, A_2, A_s, A_f — линейные нагрузки обмоток БЭМУ,
- B^δ — суммарная магнитная индукция в воздушном зазоре,
- $B_{\delta_1}, B_{\delta_2}$ — амплитуды первых гармонических индукций каскадов БЭМУ,
- W_{R1}, W_{R2} — числа последовательных витков в фазе роторных обмоток,
- K_{w1}, K_{w2}, K_{ws} — обмоточные коэффициенты роторных и выходной обмоток,
- p_1, p_2 — число пар полюсов.
- K_{Es} — коэффициент, равный отношению э. д. с. к напряжению выходной обмотки,
- $\cos \varphi$ — коэффициент мощности, нагрузки,
- F_{R1}, F_{R2}, F_s, F_f — н. с. обмоток БЭМУ,
- F_1, F_2 — результирующие н. с.,

D, e — диаметр расточки и расчетная длина пакета статора,
 n_s — скорость вращения поля второго каскада относительно статора,
 δ^1 — приведенный воздушный зазор,
 K_{M1}, K_{M2} — коэффициент насыщения стали магнитопровода,
 $M_o = 4\pi \cdot 10^{-7} \frac{ГН}{м}$ — магнитная проницаемость воздуха,
 ρ — удельное сопротивление меди,
 τ_1 — полюсное деление первого каскада,
 j — плотность тока,
 K_f — коэффициент формы поля обмотки возбуждения,
 Z_s, Z_R — числа пазов статора и ротора.
 $\Sigma\lambda_s, \Sigma\lambda_1, \Sigma\lambda_2$ — магнитные проводимости рассеяния на единицу
 длины машины,
 η — к. п. д. усилителя (без приводного двигателя).

ЛИТЕРАТУРА

1. Патент США, № 2966623, 27, 12, 1960.
2. М. Л. Костырев, А. И. Скороспешкин. Фазовое компаундингование БЭМУ переменного тока. Известия ТПИ, т. 172, 1967.
3. В. С. Новокшенов. Исследование асинхронного бесщеточного преобразователя частоты. Диссертация, Томск, 1960.
4. В. М. Павлинин, Н. С. Сиунов. Свойства и эффективность ОПЧ. ИВУЗ — Электромеханика, № 1, 1960.
5. В. С. Нерсесян. Элементы расчета одномашинных бесконтактных преобразователей частоты. Труды Горьковского политехнического института, т. 19, вып. 3, 1963.
6. М. Л. Костырев, А. И. Скороспешкин. Вопросы теории бесконтактного ЭМУ переменного тока. В настоящем сборнике.
7. М. Л. Костырев, А. И. Скороспешкин. Изменение напряжения бесконтактного ЭМУ переменного тока при включении индуктивной нагрузки. В настоящем сборнике.